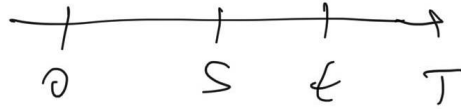


Modèles de taux

G. Turuțici

Cours 1 ISF app et MASEF 2020/21

$$L_t = \mathbb{E}(L_T | \mathcal{F}_t)$$



$$\mathbb{E}(L_t | \mathcal{F}_S) = \mathbb{E}(\mathbb{E}(L_T | \mathcal{F}_t) | \mathcal{F}_S) \stackrel{\text{par prop. de l'esp. cond}}{=} \mathbb{E}(L_T | \mathcal{F}_S)$$

$\approx L_S$

$$\frac{dL_t}{L_t} \approx ? dt + ? dW_t \quad (\text{à partir de 1.29}). \quad \text{Comparer avec formule (1.21)}$$

Modèle de Heston

Exo 7.1.2. Euler-Maruyama pour (7.7)

$$\begin{aligned} Y_{n+1} &= Y_n + (\alpha - \beta V_n) \cdot \Delta t + \sigma \sqrt{V_n} \Delta W_n & Y_n &\approx X(t_n) \\ V_{n+1} &= V_n + (a - bV_n) \cdot \Delta t + \sigma \sqrt{V_n} \Delta B_n & V_n &\approx v(t_n) \\ & & t_{n+1} - t_n &= \Delta t \end{aligned}$$

$$\Delta W_n, \Delta B_n \sim \mathcal{N}(0, \Delta t) \quad \text{cor}(\Delta W_n, \Delta B_n) = \rho$$

Simulation $G_1, G_2 \sim \mathcal{N}(0, 1)$

$$\begin{aligned} \Delta W_n &= (\rho G_1 + \sqrt{1-\rho^2} G_2) \sqrt{\Delta t} \\ \Delta B_n &= \rho G_1 \sqrt{\Delta t} \end{aligned}$$

Cours 1 démonstration (1.37)

$\mathbb{E}_{P_2}(X | \mathcal{F}_t)$ a la propriété (qui la définit) :

$$\mathbb{E}_{P_2} \left(U \underbrace{\mathbb{E}_{P_2}(X | \mathcal{F}_t)} \right) = \mathbb{E}_{P_2}(XU) \quad \forall U \in \mathcal{F}_t$$

Mais $\mathbb{E}_{P_2}(XU) = \mathbb{E}_{P_1}(L_t \downarrow XU)$

Par ailleurs

→ donc égalité $\forall U \in \mathcal{F}_t$

$$\mathbb{E}_{P_2} \left(U \mathbb{E}_{P_2}(X | \mathcal{F}_t) \right) = \mathbb{E}_{P_1} \left(L_t \cup \mathbb{E}_{P_2}(X | \mathcal{F}_t) \right)$$

Donc $\forall U \in \mathcal{F}_t : \mathbb{E}_{P_1}(L_t \downarrow XU) = \mathbb{E}_{P_1}(L_t \cup \mathbb{E}_{P_2}(X | \mathcal{F}_t))$

$$\Rightarrow \mathbb{E}_{P_1}[L_t \downarrow X | \mathcal{F}_t] = L_t \cdot \mathbb{E}_{P_2}(X | \mathcal{F}_t) .$$

$$B(t, T) \times B(T, U) = B(t, U) \quad \forall t \leq T \leq U .$$

Si $dx =$ déterministe et constant si r peut varier x en $t=0$
et vaudra $x e^{rt}$ à l'instant t (intérêt ds produit
ss risque de t "r").

Dans ce cas $\underline{B(t, T)} = e^{-r(T-t)} = \exp\left(-\int_t^T r dt\right)$

Introduction aux formules de Black

Si $\frac{dX_t}{X_t} = \sigma_t dW_t$ avec σ cst, déterministe, connu alors

$$\mathbb{E} \left[(X_T - K) \mid \mathcal{F}_t \right] = X_t \Phi(d_1) - K \Phi(d_2)$$

avec avec $d_1 =$ (cf formule 3.54) $= \frac{\ln(X_t/K) + \frac{\sigma^2}{2}(T-t)}{\sigma\sqrt{T-t}}$
 et $d_2 = d_1 - \sigma\sqrt{T-t}$.

Ceci est une conséquence de la loi normale / log-normale.

QUESTION Que se passe-t-il si σ n'est plus constante, mais n'est plus déterministe ?

Dans ce cas on utilise la proposition suivante :

Prop Soit $(H)_t = \int_0^t \xi_s dW_s$ avec $\xi \in \mathcal{F}$ -adapté, W = Brownien, donc $(H)_t =$ martingale (locale). Alors il existe un mvt. Brownien

$(B_t)_{t \geq 0}$ tel que $(H)_t = B_{\int_0^t \xi_s^2 ds} = \int_0^t \xi_s dW_s$
 "pseudo temps"

Cas particuliers ① $\xi =$ déterministe. Alors $\int_0^t \xi_s dW_s = B_{\theta_t}$ avec $\theta_t = \int_0^t \xi_s^2 ds$ déterministe.

$\xi = 1$? $\int_0^t 1 dW_s = B_{\int_0^t 1^2 ds} \Leftrightarrow W_t = B_t$

$\xi = \lambda$ $\lambda W_t = \int_0^t \lambda dW_s = B_{\int_0^t \lambda^2 ds} = B_{\lambda^2 t}$

ξ grand \Leftrightarrow plus d'incrémentes \Leftrightarrow temps plus long.

$\Rightarrow \frac{W_{t_1} - W_{t_2}}{\sqrt{t_1 - t_2}} \sim \mathcal{N}(0,1) \sim \mathcal{N}(0,1)$

② ξ pas déterministe : le temps $\int_0^t \xi_s^2 ds$ change de manière "aléatoire"
 dépendant du chemin parcouru.

Preuve par la caractérisation de Lévy.

Cours SIF, modèle LGN

Exo Montrer que X_t est v.a. gaussienne.

$$dX_t = (\phi_t - \lambda X_t) dt + \sigma_t dW_t$$

$$\phi_t = \int_0^t \sigma(s,t)^2 ds.$$

$$\begin{aligned} 1^o) X_t &= r_t - f(0,t) = f(t,t) - f(0,t) = \int_0^t d f(u,t) \\ &= \int_0^t \underbrace{-\sigma(u,t) f(u,t)}_{\text{dét}} du + \underbrace{\int_0^t \sigma(u,t) dW}_{\substack{\text{intégrale} \\ \text{gaussienne} \\ \text{car } \sigma = \text{dét}}}. \end{aligned}$$

Donc $X_t \sim \mathcal{N}(\dots, \dots)$.

$$\begin{aligned} 2^o) \underline{\text{Ito}} \text{ pour } e^{\lambda t} X_t &= Y_t, \quad dY_t = \lambda e^{\lambda t} X_t + \\ e^{\lambda t} dX_t &= e^{\lambda t} (dX_t + \lambda X_t) = e^{\lambda t} (\underbrace{\phi_t dt + \sigma_t dW_t}_{\substack{\text{intégrale gaussienne} \\ \text{car } \sigma, \phi = \text{dét}}}). \end{aligned}$$

$$\begin{aligned} 3^o) \text{ Euler-Maruyama} \quad \text{Not } U_n &\approx X(n \cdot \Delta t) \\ U_{n+1} &= U_n + (\phi_{t_n} - \lambda U_n) \cdot \Delta t + \sigma_{t_n} \underbrace{(W_{t_{n+1}} - W_{t_n})}_{\sqrt{\Delta t} \mathcal{N}(0,1)} \\ \text{Si } U_n &= \text{gaussienne alors nous avons} \\ \text{La somme de 2 gaussiennes indep } &U_n + (\phi_{t_n} - \lambda U_n) \Delta t \perp \\ \sigma_{t_n} (W_{t_{n+1}} - W_{t_n}) &\text{, donc } U_{n+1} = \text{gaussienne.} \end{aligned}$$

Par ailleurs on obtient pour $m_t = E(X_t)$: $m_t' = (\phi_t - \lambda m_t)$.

(peut aussi se justifier avec Euler-Maruyama).

$$\text{cov}(X_t, X_s) = \text{cov}\left(\int_0^t \dots du + \int_0^s \dots dW_u, \int_0^s \dots du + \int_0^s \dots dW_u\right) = \int_0^{\min(s,t)} (e^{-\lambda(t-u)})^2 du$$

Modèle BGM (S&S)

Exo $\vec{\Sigma}_t$: d-Brownien (Brownien en dim d)
 $\vec{\Sigma}_t = (\Sigma_{t,1}^1, \dots, \Sigma_{t,d}^d)$ avec $\Sigma_t^i =$ Browniens standard indépendants.

A montrer 1) $B \cdot \vec{\Sigma}_t =$ Brownien en dim 1.

Pour $B \in \mathbb{R}^d$
 $\|B\|=1$ 2) Si $\vec{\beta} \in \mathbb{R}^d$ $\|\vec{\beta}\|=1$ alors la corrélation entre $B \cdot d\vec{\Sigma}_t$ et $\vec{\beta} \cdot d\vec{\Sigma}_t$ est $\langle B, \vec{\beta} \rangle$.

① $B = (B_1, \dots, B_d)$ $U_t = B \cdot \vec{\Sigma}_t = \sum_{i=1}^d B_i \Sigma_t^i$

proc Gaussien:
 $\langle U_t, U_t \rangle = \left\langle \sum_{i=1}^d B_i \Sigma_t^i, \sum_{l=1}^d B_l \Sigma_t^l \right\rangle = \sum_{i,l=1}^d B_i B_l \underbrace{\langle \Sigma_t^i, \Sigma_t^l \rangle}_{\substack{0 \text{ si } i \neq l \\ t \text{ si } i=l}}$

$= t \sum_{i=1}^d B_i^2 = t \|B\|^2 = t$ car $\|B\|=1$

② Corr entre increments (en de 0 à t) donc corrélation entre les v.a. $B \cdot \vec{\Sigma}_t$ et $\vec{\beta} \cdot \vec{\Sigma}_t$

$Cov(B \cdot \vec{\Sigma}_t, \vec{\beta} \cdot \vec{\Sigma}_t) = Cov(\sum B_i \Sigma_t^i, \sum \beta_l \Sigma_t^l)$
 $= \sum_{i,l=1}^d B_i \beta_l \underbrace{Cov(\Sigma_t^i, \Sigma_t^l)}_{\substack{0 \text{ si } i \neq l \\ t \text{ si } i=l}} = t \sum_i B_i \beta_i = t \langle B, \vec{\beta} \rangle$

Alors la corrélation $Cor(\dots) = \frac{Cov(B \cdot \vec{\Sigma}_t, \vec{\beta} \cdot \vec{\Sigma}_t)}{\sqrt{Var(B \cdot \vec{\Sigma}_t) Var(\vec{\beta} \cdot \vec{\Sigma}_t)}} = \langle B, \vec{\beta} \rangle$.

Modèle SABR, Exo 6.1 p 51, item 2

$$\begin{cases} F_{n+1} = F_n + \alpha_n \cdot F_n^\beta \Delta W_n \\ \alpha_{n+1} = \alpha_n + \alpha_n \cdot \lambda \cdot \Delta B_n \end{cases}$$

$$\begin{cases} \Delta W_n \sim \sqrt{\Delta t} \mathcal{N}(0,1) \\ \Delta B_n \sim \sqrt{\Delta t} \mathcal{N}(0,1) \end{cases} \quad \text{corr}(\Delta W_n, \Delta B_n) = \rho$$

$$\varepsilon_{xx} G', G \sim \mathcal{N}(0, 1), G' \perp G. \Delta W_n = \sqrt{h} G$$

$$\Delta B_n = \sqrt{h} (\rho G + \sqrt{1-\rho^2} G')$$

Question $\alpha_n > 0$? $F_n > 0$?

$$\alpha_{n+1} = \alpha_n (1 + d \Delta B_n), \text{ pas necess}^+ \neq !$$

$$F_{n+1} = F_n (1 + \alpha_n F_n^{\beta-1} \Delta W_n), \text{ pas tjs positif !}$$

Comment faire? \rightarrow utiliser des ex type CIR.
 \rightarrow remplacer par le module
 \rightarrow e'crire des e'q pour le log

$$\alpha_t = e^{\underbrace{\ln(\alpha_t)}_{A_t}} \quad F_t = e^{\underbrace{\ln(F_t)}_{B_t}} \quad \alpha_t = e^{A_t} \quad F_t = e^{B_t}$$

$$A_t = \ln \alpha_t$$

$$\int dA_t = (\dots) dt + (\dots) dB_t$$

$$\int dB_t = (\dots) dt + (\dots) dW_t$$

\propto Euler Itô / Itô - Euler.

Exo 6.3.1 page 62

$$K \rightarrow F_0 \quad \ln(F_0/K) \rightarrow 0. \text{ Le 2}^e \text{ terme} \rightarrow 1.$$

$$\sqrt{KF_0} \rightarrow F_0.$$

Il reste seulement $\frac{y}{\xi(y)}$. Ici $y \rightarrow 0$ On doit donc

étudier $\lim_{y \rightarrow 0} \frac{y}{\xi(y)} = \lim_{y \rightarrow 0} \frac{y}{\ln\left(\frac{\sqrt{1-2\rho y + y^2} - \rho + y}{1-\rho}\right)}$

$$= \lim_{y \rightarrow 0} \frac{y}{\frac{\sqrt{1-2\rho y + y^2} - \rho + y}{1-\rho} - 1}$$

$$= \lim_{y \rightarrow 0} \frac{y(1-\rho)}{\sqrt{1-2\rho y + y^2} - \rho + y - 1 + \rho} = \lim_{y \rightarrow 0} \frac{y(1-\rho)}{\sqrt{1-2\rho y + y^2} - (1-y)} = \dots = 1.$$

$$\ln(1+x) = x + \mathcal{O}(x^2)$$

$$\ln\left(\frac{R}{K}\right) = (R-K) + \mathcal{O}\left(\frac{R-K}{K}\right)^2$$

$$\sqrt{a} - \sqrt{b} = \frac{a-b}{\sqrt{a} + \sqrt{b}}$$

Exo 7.1.2.
$$\begin{cases} Y_{n+1} = Y_n + (\alpha - \beta V_n) \Delta t + \sigma \sqrt{V_n} \Delta W_n \\ V_{n+1} = V_n + (\alpha - b V_n) \Delta t + \sigma \sqrt{V_n} \Delta B_n \end{cases}$$

avec $\Delta W_n, \Delta B_n \sim \mathcal{N}(0, \Delta t)$, de corrélation " ρ ".

$$\Delta W_n = (\rho G_1 + \sqrt{1-\rho^2} G_2) \sqrt{\Delta t}$$
 avec $G_1, G_2 \sim \mathcal{N}(0, 1)$

$$\Delta B_n = G_1 \sqrt{\Delta t}$$

Pb de positivité pour $V_{n+1} > 0$! Il se peut que $V_{n+1} < 0$.

Dans ce cas \rightarrow soit on met $V_{n+1} = (V_{n+1})_+$ et on vérifie si Δt n'est pas trop grand

\searrow soit on utilise un schéma numérique adapté au modèle CIR.

Examen : matière : tout fait en cours (surtout sur le poly).

regarder les faits ^{hors des} ~~en~~ cours

| L'air : les objets du raisonnement

